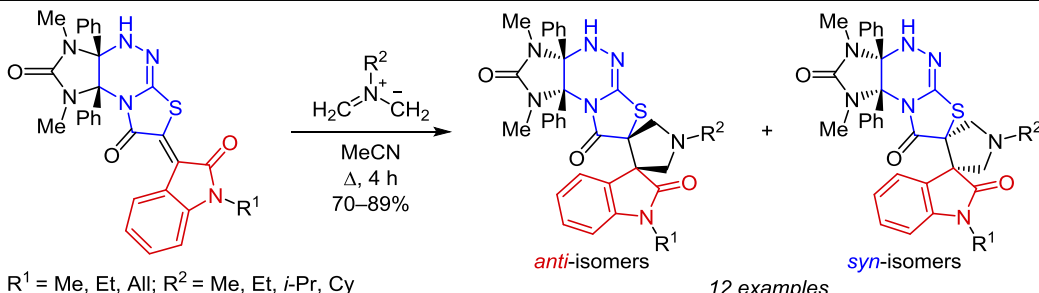


# 1,3-Диполярное циклоприсоединение азометинилидов к оксиндолилиденпроизводным имидазо[4,5-*e*]тиазоло[2,3-*c*]- [1,2,4]триазина в синтезе новых производных спирооксиндола

Алексей Н. Измельцев<sup>1\*</sup>, Ангелина Н. Кравченко<sup>1</sup>, Галина А. Газиева<sup>1</sup>

<sup>1</sup> Институт органической химии им. Н. Д. Зелинского РАН,  
Ленинский пр., 47, Москва 119991, Россия; e-mail: nebeli@mail.ru

Поступило 10.02.2023  
Принято после доработки 15.03.2023



Изучены стереохимические особенности реакции 1,3-диполярного циклоприсоединения азометинилидов с оксиндолилиден-производными имидазо[4,5-*e*]тиазоло[2,3-*c*][1,2,4]триазина, приводящей к смеси диастереомерных производных диспиро-[имидазотиазолтриазин-7,3'-пирролидин-4',3"-оксиндола]. Показано, что соответствующие *син-* и *анти*-стереоизомеры могут быть выделены в индивидуальном виде дробной кристаллизацией из реакционных смесей без использования хроматографических методов.

**Ключевые слова:** азометинилиды, оксиндолы, спирооксиндолы, спиропирролидиноксиндолы, [3+2]-циклоприсоединение.

Спирооксиндолы – важный класс синтетических и природных спироциклических соединений. Спиро-сочлененная с пирролидиновым циклом оксиндольная система является структурным фрагментом многочисленных природных алкалоидов, таких как хорсфилин,<sup>1</sup> митрафиллин<sup>2</sup> и спиротрипростатин A,<sup>3</sup> обладающих анальгетической и противоопухолевой активностью, а также входит в состав большого числа иммуномодулирующих и антипролиферативных синтетических препаратов<sup>4</sup> (рис. 1).

Одним из эффективных методов формирования спиропирролидиноксиндольной системы являются реакции 1,3-диполярного циклоприсоединения азометиновых илидов к активированным ненасыщенным соединениям.<sup>5</sup> Особое внимание уделяется изучению стереохимических особенностей циклоприсоединения и получению целевых спирооксиндолов в энантио- или диастереомерно чистом виде.<sup>6</sup>

Недавно было показано, что перспективными субстратами в реакциях с азометинилидами являются функционализированные производные имидазо[4,5-*e*]-тиазоло[2,3-*c*][1,2,4]триазина, на базе которых разработаны высокоселективные и стереодивергентные

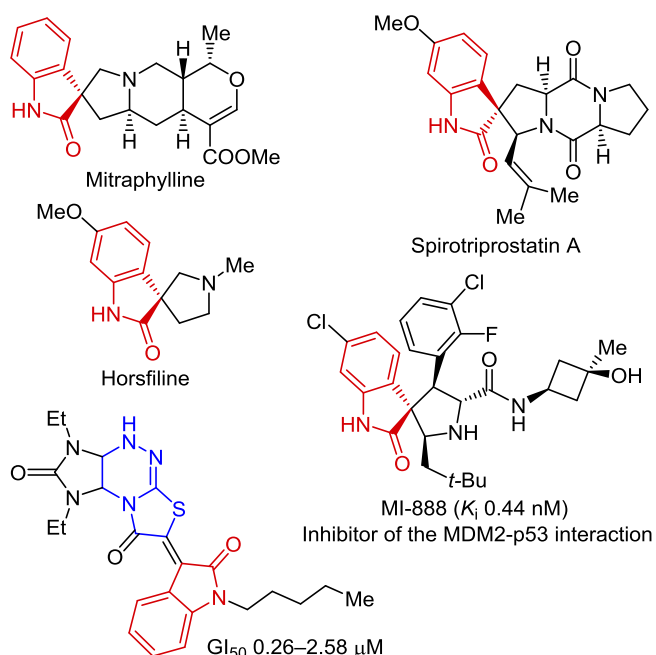
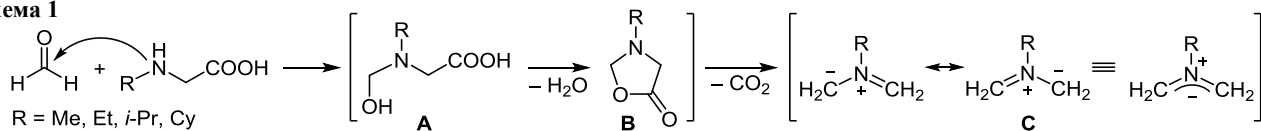


Рисунок 1. Биологически активные природные и синтетические спирооксиндолы и имидазотиазолтриазины.

Схема 1



методы синтеза диспиросочлененных производных оксиндола.<sup>7</sup> Исследования *in vitro* противоопухолевой активности исходных диполярофилов позволили выявить ряд соединений, обладающих высокой цитотоксичностью в отношении ряда линий опухолевых клеток человека<sup>8</sup> (рис. 1). В связи с этим объединение в одной молекуле фармакофорных фрагментов имидазотиазолотриазина и спиропирролидиноксиндола является актуальным и представляет практический интерес.

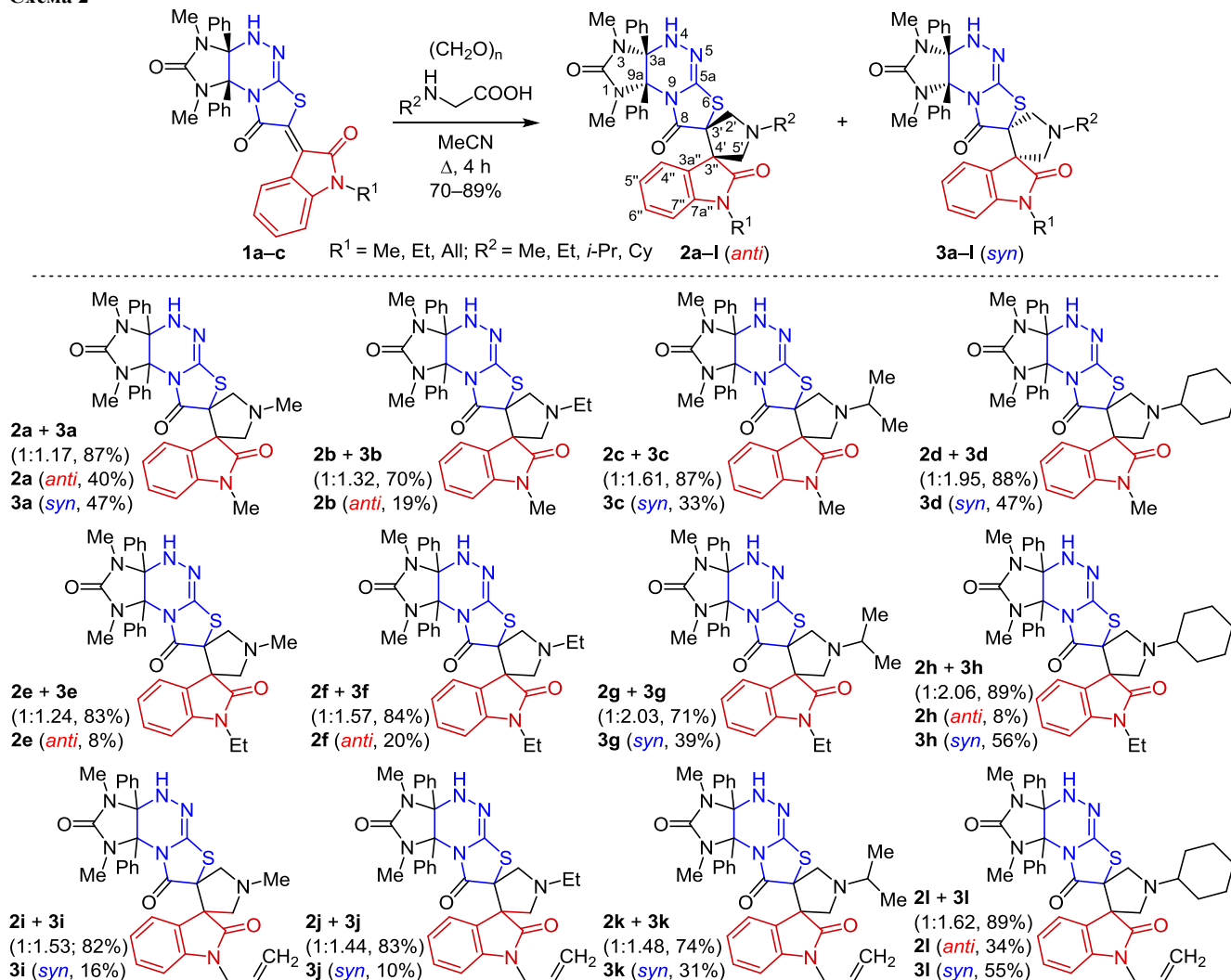
В настоящей работе предложен метод синтеза диспиросочлененных имидазотиазолотриазин-7,3'-пирролидин-4',3"-оксиндолов на основе реакции 1,3-диполярного циклоприсоединения азометиновых илидов к оксиндолилиденпроизводным имидазо[4,5-*e*]тиазоло[2,3-*c*][1,2,4]триазина.

Для проведения соответствующих конденсаций был выбран термический способ генерирования азометиновых илидов *in situ* из параформальдегида и *N*-замещен-

ных аминокислот,<sup>9</sup> протекающего согласно схеме 1. Вначале происходит нуклеофильное присоединение аминокислоты по карбонильной группе формальдегида с образованием *N*-гидроксиметилпроизводного **A**, циклизующегося в пятичлененный азалактон **B**. Далее происходит его термическое разложение, сопровождающееся элиминированием молекулы CO<sub>2</sub> и образованием диполярной частицы **C**.

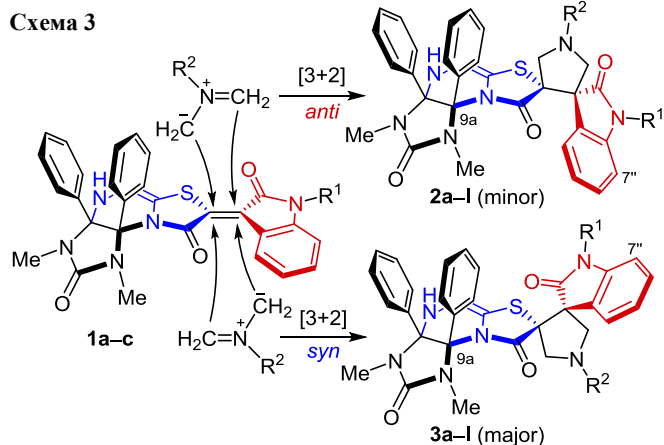
Реакция [3+2]-циклоприсоединения данных диполей с оксиндолилиденпроизводными имидазо[4,5-*e*]тиазоло[2,3-*c*][1,2,4]триазина **1a–c** протекала при кипячении исходных соединений в ацетонитриле в течение 4 ч и приводила к образованию диспиросочлененных имидазотиазолотриазин-7,3'-пирролидин-4',3"-оксиндолов в виде смеси диастеремомеров **2** и **3** **a–l** с *анти*- и *син*-ориентацией имидазолидинового и пирролидинового циклов относительно тиазолтриазиновой системы (схема 2). Предыдущие исследования<sup>7b</sup> трехкомпонент-

Схема 2



ной конденсации азометинилидов с близкими по строению диполярофилами, отличающимися от используемых в данной работе соединений **1a–c** отсутствием фенильных заместителей в трициклической системе, показали, что реакция протекает неселективно с образованием соответствующих *син-* и *анти-*-диастереомеров приблизительно в равных количествах. Преимущественное образование *син*-изомеров **3a–l** в случае использования **3a,9a**-дифенилзамещенных имидазотиазолтриазинов **1a–c** связано, вероятно, с большим стерическим влиянием, оказываемым фенильными группами по сравнению с имидазолидиновым циклом (схема 3).

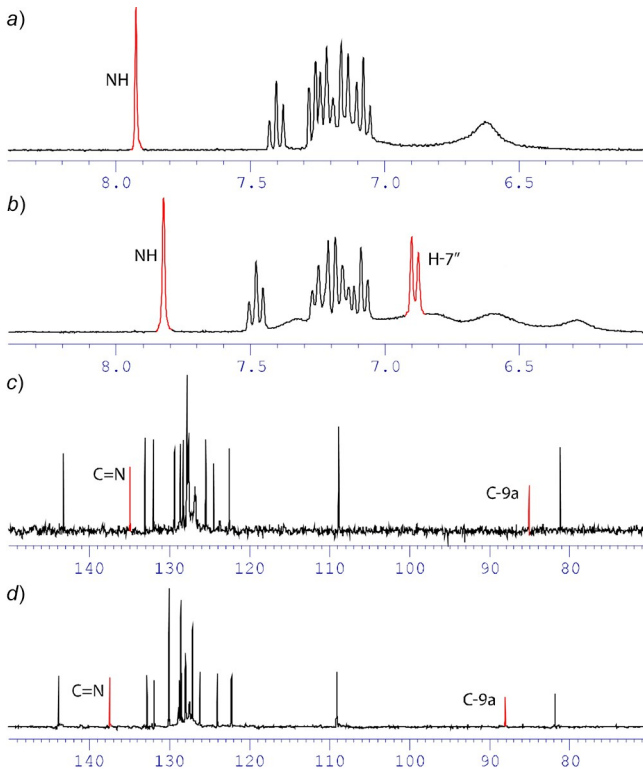
Схема 3



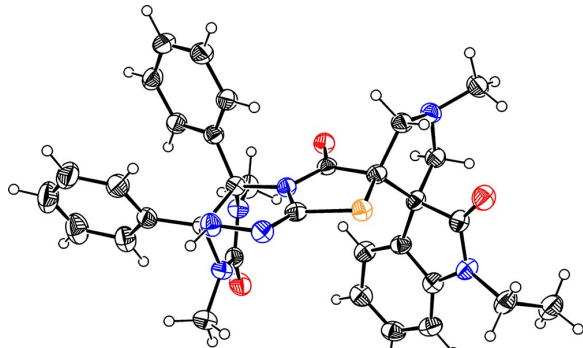
В соответствии с этим наблюдается прямая зависимость соотношения диастереомерных продуктов реакции **2** и **3 a–l** от объема алкильного заместителя при атоме азота в диполе. Так, наименьшее соотношение образующихся *син*- и *анти*-диастереомеров, определенное по спектрам ЯМР  $^1\text{H}$ , наблюдается для продуктов **3a** и **2a** (1.17:1), полученных по реакции диполярофила **1a** с азометинилидом, содержащим метильный заместитель при атоме азота. С увеличением размера азометинилида происходит повышение доли *син*-диастереомеров **3** в смеси с *анти*-изомерами **2** и достигает максимального значения в циклогексилизамещенных продуктах **3h** и **2h** (2.06:1).

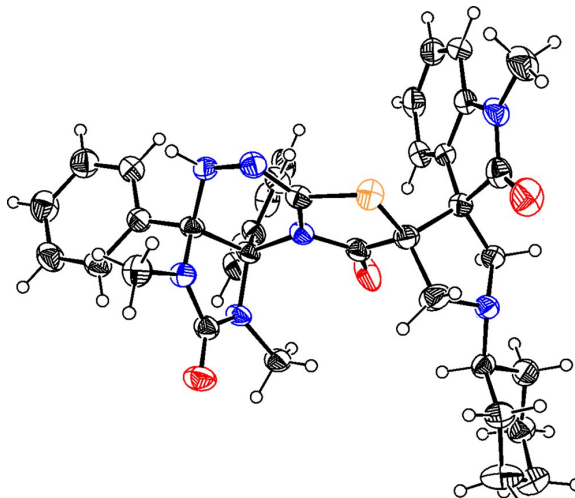
Выделение индивидуальных диастереомеров из реакционной смеси не требует применения хроматографических методов и может осуществляться дробной кристаллизацией продуктов из реакционной смеси или из их раствора в MeCN. Данным методом выделены *анти*-диастереомеры **2a,b,e,f,h,l** с выходами 8–40%, а также *син*-изомеры **3a,c,d,g–l** с выходами 10–56%. В двух случаях смеси изомерных продуктов **2a + 3a** и **2l + 3l** удалось разделить полностью без выделения смесевых фракций. Структуры полученных соединений подтверждены методами ИК спектроскопии, спектроскопии ЯМР  $^1\text{H}$ ,  $^{13}\text{C}$ , а также масс-спектрометрии высокого разрешения.

Характерными сигналами в спектрах ЯМР  $^1\text{H}$ , позволяющими отнести соединение к одному из двух диастереомерных продуктов, являются синглет группы NH в области 7.81–7.84 м. д. для *син*-изомеров **3a–l** и

Рисунок 2. Фрагменты спектров ЯМР  $^1\text{H}$  соединений **a**) **2h** и **b**) **3h** в диапазоне 6.0–8.5 м. д., а также спектров ЯМР  $^{13}\text{C}$  соединений **c**) **2h** и **d**) **3h** в диапазоне 70.0–150.0 м. д. в  $\text{DMSO}-d_6$ .

7.92–7.94 м. д. для *анти*-диастереомеров **2a–l**, а также дублет атома водорода индольного фрагмента H-7", наблюдаемый при 6.88–6.91 м. д. для *син*-изомеров **3a–l** и при 7.05–7.28 м. д. в составе мультиплета для *анти*-диастереомеров **2a–l** (рис. 2a,b). В спектрах ЯМР  $^{13}\text{C}$  характеристичными являются сигналы мостикового атома углерода трициклической системы C-9a в области 86.9–88.5 м. д. для *син*-изомеров **3a–l** и при 83.9–85.4 м. д. для *анти*-изомеров **2a–l**, а также атома углерода эндоциклического C=N фрагмента, наблюдаемого при 136.2–137.7 м. д. для *син*-изомеров **3a–l** и при 133.5–135.1 м. д. для *анти*-изомеров **2a–l** (рис. 2c,d). Отнесение спектров ЯМР индивидуальных соединений к конкретным диастереомерам выполнено при помощи данных рентгеноструктурного анализа структур **2e** и **3d** (рис. 3, 4).

Рисунок 3. Молекулярная структура соединения **2e** в представлении атомов эллипсоидами тепловых колебаний с 50% вероятностью.



**Рисунок 4.** Молекулярная структура соединения **3d** в представлении атомов эллипсоидами тепловых колебаний с 50% вероятностью.

Таким образом, на основе реакции [3+2]-циклоприсоединения азометиновых илидов к производным имидазо[4,5-*e*]тиазоло[2,3-*c*][1,2,4]триазина получены две серии стереоизомерных диспиросочлененных имидазотиазолотриазин-7,3'-пирролидин-4',3"-оксиндолов. Показано, что соотношение получаемых *син-* и *анти*-диастереоизомеров зависит от объема алкильного заместителя при атоме азота диполя, при этом каждый из диастереоизомеров может быть выделен в индивидуальном виде нехроматографическим методом – дробной кристаллизацией из реакционных смесей.

### Экспериментальная часть

ИК спектры зарегистрированы на приборе Bruker ALPHA в таблетках с KBr. Спектры ЯМР  $^1\text{H}$  и  $^{13}\text{C}$  записаны на спектрометрах Bruker AM 300 (300 и 75 МГц соответственно), Bruker AV 300 (300 и 75 МГц соответственно), Bruker DRX 500 (500 и 125 МГц соответственно) и Bruker AV 600 (600 и 150 МГц соответственно) в  $\text{DMSO}-d_6$ . Внутренний стандарт – сигналы остаточных протонов дейтерорасстворителя (2.50 м. д. для ядер  $^1\text{H}$  и 39.5 м. д. для ядер  $^{13}\text{C}$ ). Масс-спектры высокого разрешения зарегистрированы на приборе Bruker micrOTOF II (ионизация электрораспылением) в режиме регистрации положительных ионов (напряжение на капилляре 4500 В). Диапазон сканирования масс 50–3000 Да, калибровка – внешняя или внутренняя (Electrospray Calibrant Solution, Fluka). Использован шприцевой ввод растворов образцов в MeCN или MeOH, скорость потока 3  $\mu\text{л}\cdot\text{мин}^{-1}$ , газ-распылитель – азот (4  $\text{l}\cdot\text{мин}^{-1}$ ), температура интерфейса 180°C. Температуры плавления определены на столике Boetius.

Исходные диполярофилы **1a–c** получены по разработанной ранее методике.<sup>10</sup>

**Синтез диспиро[имидазотиазолотриазин-7,3'-пирролидин-4',3"-оксиндолов] **2** и **3 a–l** (общая методика).** Сuspension 1 ммоль имидазотиазолотриазина **1a–c**, 2 ммоль параформальдегида и 2 ммоль *N*-алкилглицина

в 40 мл MeCN перемешивают при интенсивном кипячении в течение 4 ч до полного исчезновения оранжевого оттенка. Для получения целевых соединений в виде смесей диастереомеров **2** и **3** растворитель упаривают при пониженном давлении, сухой остаток растирают с небольшим количеством MeCN. Образовавшуюся суспензию фильтруют, осадок на фильтре промывают MeCN и высушивают. Для получения индивидуальных диастереомеров **2** и **3** охлажденную реакционную смесь оставляют в открытой колбе для медленной кристаллизации осадка. По мере уменьшения объема раствора кристаллизующиеся осадки отфильтровывают, промывают MeCN и высушивают. Фильтрат оставляют в открытой колбе для дальнейшей кристаллизации. Данную процедуру повторяют не менее 3–4 раз. При необходимости загрязненный другим изомером продукт может быть очищен перекристаллизацией из MeCN.

**(3*aR*<sup>\*</sup>,4'*R*<sup>\*</sup>,7*S*<sup>\*</sup>,9*aS*<sup>\*</sup>)-1,1',1",3-Тетраметил-3*a*,9-дифенил-1,3*a*,4,9-а-тетрагидро-8*H*-диспиро[имидазо-[4,5-*e*]тиазоло[2,3-*c*][1,2,4]триазин-7,3'-пирролидин-4',3"-индолин]-2,2",8(3*H*)-трион (2*a*).** Выход 237 мг (40%), белый порошок, т. пл. >300°C. ИК спектр,  $\nu$ ,  $\text{cm}^{-1}$ : 3264 (NH), 3054, 3037 (Ar), 2976, 2952, 2912, 2845 (Alk), 1702, 1653 (C=O). Спектр ЯМР  $^1\text{H}$  (300 МГц),  $\delta$ , м. д. ( $J$ , Гц): 2.38 (6Н, с, 1',3-NCH<sub>3</sub>); 2.96 (3Н, с, 1-NCH<sub>3</sub>); 3.05 (1Н, д,  $J$  = 11.0, 5'-CH<sub>2</sub>); 3.19 (3Н, с, 1"-NCH<sub>3</sub>); 3.36–3.42 (2Н, м, 2',5'-CH<sub>2</sub>); 3.76 (1Н, д,  $J$  = 10.8, 2'-CH<sub>2</sub>); 6.30–6.80 (4Н, м, H Ph); 7.06–7.26 (9Н, м, H Ph, H-4",5",7"); 7.41 (1Н, т,  $J$  = 7.8, H-6"); 7.93 (1Н, с, NH). Спектр ЯМР  $^{13}\text{C}$  (150 МГц),  $\delta$ , м. д.: 25.5, 26.2 (1",3-NCH<sub>3</sub>); 31.1 (1-NCH<sub>3</sub>); 41.8 (1'-NCH<sub>3</sub>); 59.6 (C-4'); 61.8 (C-5'); 63.3 (C-3'); 65.6 (C-2'); 81.2 (C-3a); 85.0 (C-9a); 109.1 (C-7"); 123.0 (C-5"); 124.0 (C-3a"); 127.1, 128.0, 128.6, 128.9, 129.5, 130.0 (2Ph-2-6, C-4",6"); 131.9, 133.1 (2Ph-1); 134.7 (C-5a); 144.4 (C-7a"); 158.1 (2-C=O); 170.4 (8-C=O); 176.4 (2"-C=O). Найдено,  $m/z$ : 594.2281 [M+H]<sup>+</sup>.  $\text{C}_{32}\text{H}_{32}\text{N}_7\text{O}_3\text{S}$ . Вычислено,  $m/z$ : 594.2282.

**(3*aR*<sup>\*</sup>,4'*S*<sup>\*</sup>,7*R*<sup>\*</sup>,9*aS*<sup>\*</sup>)-1,1',1",3-Тетраметил-3*a*,9-дифенил-1,3*a*,4,9-а-тетрагидро-8*H*-диспиро[имидазо-[4,5-*e*]тиазоло[2,3-*c*][1,2,4]триазин-7,3'-пирролидин-4',3"-индолин]-2,2",8(3*H*)-трион (3*a*).** Выход 278 мг (47%), белый порошок, т. пл. 210–212°C. ИК спектр,  $\nu$ ,  $\text{cm}^{-1}$ : 3294 (NH), 3061, 3031 (Ar), 2943, 2884, 2842 (Alk), 1721, 1704, 1655 (C=O). Спектр ЯМР  $^1\text{H}$  (300 МГц),  $\delta$ , м. д. ( $J$ , Гц): 2.45 (3Н, с, 1'-NCH<sub>3</sub>); 2.52 (3Н, с, 3-NCH<sub>3</sub>); 2.93 (3Н, с, 1-NCH<sub>3</sub>); 3.08 (1Н, д,  $J$  = 10.1, 5'-CH<sub>2</sub>); 3.22 (3Н, с, 1"-NCH<sub>3</sub>); 3.34–3.44 (2Н, м, 2',5'-CH<sub>2</sub>); 3.88 (1Н, д,  $J$  = 10.8, 2'-CH<sub>2</sub>); 6.15–6.71 (4Н, м, H Ph); 6.88 (1Н, д,  $J$  = 7.4, H-7"); 7.09–7.28 (8Н, м, H Ph, H-4",5"); 7.50 (1Н, т,  $J$  = 7.6, H-6"); 7.82 (1Н, с, NH). Спектр ЯМР  $^{13}\text{C}$  (75 МГц),  $\delta$ , м. д.: 25.5, 26.1 (1",3-NCH<sub>3</sub>); 30.5 (1-NCH<sub>3</sub>); 42.0 (1'-NCH<sub>3</sub>); 60.0 (C-4'); 61.8 (C-5'); 63.2 (C-3'); 66.8 (C-2'); 81.8 (C-3a); 88.1 (C-9a); 109.0 (C-7"); 122.3 (C-5"); 123.4 (C-3a"); 125.8, 127.0, 127.4, 127.8, 128.4, 128.6, 130.0 (2Ph-2-6, C-4",6"); 131.8, 132.7 (2Ph-1); 137.2 (C-5a); 144.8 (C-7a"); 157.9 (2-C=O); 171.4 (8-C=O); 176.5 (2"-C=O). Найдено,  $m/z$ : 594.2300 [M+H]<sup>+</sup>.  $\text{C}_{32}\text{H}_{32}\text{N}_7\text{O}_3\text{S}$ . Вычислено,  $m/z$ : 594.2282.

**Смесь ( $3\alpha R^*, 4'R^*, 7S^*, 9aS^*$ )-1,1"-3-т trimetil-3 $\alpha$ ,9 $\alpha$ -дифенил-1'-этил-1,3 $\alpha$ ,4,9 $\alpha$ -тетрагидро-8Н-диспиро[имидаzo[4,5-*e*]тиазоло[2,3-*c*][1,2,4]триазин-7,3'-пирролидин-4',3"-индолин]-2,2",8(3Н)-триона (2b) и ( $3\alpha R^*, 4'S^*, 7R^*, 9aS^*$ )-1,1",3-т trimetil-3 $\alpha$ ,9 $\alpha$ -дифенил-1'-этил-1,3 $\alpha$ ,4,9 $\alpha$ -тетрагидро-8Н-диспиро[имидаzo[4,5-*e*]тиазоло[2,3-*c*][1,2,4]триазин-7,3'-пирролидин-4',3"-индолин]-2,2",8(3Н)-триона (3b).** Выход 425 мг (70%), белый порошок. Спектр ЯМР  $^1\text{H}$  (300 МГц),  $\delta$ , м. д. ( $J$ , Гц): 0.94–1.01 (6Н, м,  $\text{CH}_3$ ); 2.39 (3Н, с, 3-NCH<sub>3</sub>); 2.52 (3Н, с, 3-NCH<sub>3</sub>); 2.64 (2Н, к,  $J$  = 7.2, 1'-NCH<sub>2</sub>); 2.72 (2Н, к,  $J$  = 7.2, 1'-NCH<sub>2</sub>); 2.92 (3Н, с, 1-NCH<sub>3</sub>); 2.97 (3Н, с, 1-NCH<sub>3</sub>); 3.09–3.15 (2Н, м, 5'-CH<sub>2</sub>); 3.19 (3Н, с, 1"-NCH<sub>3</sub>); 3.22 (3Н, с, 1"-NCH<sub>3</sub>); 3.36–3.48 (4Н, м, 2',5'-CH<sub>2</sub>); 3.78 (1Н, д,  $J$  = 10.5, 2'-CH<sub>2</sub>); 3.88 (1Н, д,  $J$  = 10.9, 2'-CH<sub>2</sub>); 6.21–6.72 (8Н, м, Н Ph); 6.87–7.28 (18Н, м, Н Ph, H-4",5",7"); 7.41 (1Н, т,  $J$  = 7.6, H-6"); 7.50 (1Н, т,  $J$  = 7.7, H-6"); 7.84 (1Н, с, NH); 7.94 (1Н, с, NH). Спектр ЯМР  $^{13}\text{C}$  (125 МГц),  $\delta$ , м. д.: 14.0 (2CH<sub>3</sub>); 25.6, 26.2 (1",3-NCH<sub>3</sub>); 30.6, 31.1 (1-NCH<sub>3</sub>); 49.2, 49.7 (1'-NCH<sub>2</sub>); 59.1, 59.6, 59.8, 59.9, 62.9, 63.7, 65.1 (C-2',3',4',5'); 81.3, 81.9 (C-3a); 85.1, 88.2 (C-9a); 109.1 (C-7"); 122.4, 123.0, 123.5, 124.1, 125.1, 125.9, 127.1, 127.5, 127.9, 128.5, 128.6, 128.8, 128.9, 129.5, 130.0, 130.1 (2Ph-2–6, C-3a",4",5",6"); 131.9, 132.0, 132.8, 133.2 (2Ph-1); 134.7, 137.3 (C-5a); 144.4, 144.9 (C-7a"); 158.0, 158.1 (2-C=O); 170.4, 171.5 (8-C=O); 176.4, 176.6 (2"-C=O).

**( $3\alpha R^*, 4'R^*, 7S^*, 9aS^*$ )-1,1",3-Т trimetil-3 $\alpha$ ,9 $\alpha$ -дифенил-1'-этил-1,3 $\alpha$ ,4,9 $\alpha$ -тетрагидро-8Н-диспиро[имидаzo[4,5-*e*]тиазоло[2,3-*c*][1,2,4]триазин-7,3'-пирролидин-4',3"-индолин]-2,2",8(3Н)-трион (2b).** Выход 115 мг (19%), белый порошок, т. пл. 253–255°C. ИК спектр,  $\nu$ , см $^{-1}$ : 3262 (NH), 3089, 3056, 3035 (Ar), 2976, 2934, 2903, 2850 (Alk), 1700, 1654 (C=O). Спектр ЯМР  $^1\text{H}$  (300 МГц),  $\delta$ , м. д. ( $J$ , Гц): 0.96 (3Н, т,  $J$  = 7.1,  $\text{CH}_3$ ); 2.39 (3Н, с, 3-NCH<sub>3</sub>); 2.64 (2Н, к,  $J$  = 7.2, 1'-NCH<sub>2</sub>); 2.97 (3Н, с, 1-NCH<sub>3</sub>); 3.10 (1Н, д,  $J$  = 10.2, 5'-CH<sub>2</sub>); 3.19 (3Н, с, 1"-NCH<sub>3</sub>); 3.37–3.48 (2Н, м, 2',5'-CH<sub>2</sub>); 3.78 (1Н, д,  $J$  = 10.5, 2'-CH<sub>2</sub>); 6.25–6.80 (4Н, м, Н Ph); 7.07–7.27 (9Н, м, Н Ph, H-4",5",7"); 7.41 (1Н, т,  $J$  = 7.6, H-6"); 7.94 (1Н, с, NH). Спектр ЯМР  $^{13}\text{C}$  (125 МГц),  $\delta$ , м. д.: 12.8 (CH<sub>3</sub>); 24.4, 25.0 (1",3-NCH<sub>3</sub>); 29.9 (1-NCH<sub>3</sub>); 48.0 (1'-NCH<sub>2</sub>); 57.9 (C-4'); 58.6 (C-5'); 61.7 (C-3'); 62.6 (C-2'); 80.1 (C-3a); 83.9 (C-9a); 107.9 (C-7"); 121.8, 122.9, 123.9, 125.8, 126.8, 127.3, 127.7, 128.3 (2Ph-2–6, C-3a",4",5",6"); 130.8, 132.0 (2Ph-1); 133.5 (C-5a); 143.2 (C-7a"); 156.9 (2-C=O); 169.2 (8-C=O); 175.2 (2"-C=O). Найдено,  $m/z$ : 608.2431 [M+H] $^+$ .  $\text{C}_{33}\text{H}_{34}\text{N}_7\text{O}_3\text{S}$ . Вычислено,  $m/z$ : 608.2438.

**Смесь ( $3\alpha R^*, 4'R^*, 7S^*, 9aS^*$ )-1'-изопропил-1,1",3-т trimetil-3 $\alpha$ ,9 $\alpha$ -дифенил-1,3 $\alpha$ ,4,9 $\alpha$ -тетрагидро-8Н-диспиро[имидаzo[4,5-*e*]тиазоло[2,3-*c*][1,2,4]триазин-7,3'-пирролидин-4',3"-индолин]-2,2",8(3Н)-триона (2c) и ( $3\alpha R^*, 4'S^*, 7R^*, 9aS^*$ )-1,1",3-т trimetil-3 $\alpha$ ,9 $\alpha$ -дифенил-1'-изопропил-1,3 $\alpha$ ,4,9 $\alpha$ -тетрагидро-8Н-диспиро[имидаzo[4,5-*e*]тиазоло[2,3-*c*][1,2,4]триазин-7,3'-пирролидин-4',3"-индолин]-2,2",8(3Н)-триона (3c).** Выход 540 мг (87%), белый порошок. Спектр ЯМР  $^1\text{H}$  (300 МГц),  $\delta$ , м. д. ( $J$ , Гц): 0.96–1.01 (12Н, м, 2CH<sub>3</sub>); 2.40 (3Н, с, 3-NCH<sub>3</sub>); 2.51 (3Н, с, 3-NCH<sub>3</sub>); 2.74–2.94 (8Н, м, 1'-NCH, 1-NCH<sub>3</sub>);

3.15 (2Н, д,  $J$  = 10.1, 5'-CH<sub>2</sub>); 3.16 (3Н, с, 1"-NCH<sub>3</sub>); 3.21 (3Н, с, 1"-NCH<sub>3</sub>); 3.36–3.53 (4Н, м, 2',5'-CH<sub>2</sub>); 3.79 (1Н, д,  $J$  = 10.4, 2'-CH<sub>2</sub>); 3.88 (1Н, д,  $J$  = 10.6, 2'-CH<sub>2</sub>); 6.19–6.72 (8Н, м, Н Ph); 6.88–7.26 (18Н, м, Н Ph, H-4",5",7"); 7.41 (1Н, т,  $J$  = 7.7, H-6"); 7.50 (1Н, т,  $J$  = 7.7, H-6"); 7.83 (1Н, с, NH); 7.92 (1Н, с, NH). Спектр ЯМР  $^{13}\text{C}$  (75 МГц),  $\delta$ , м. д.: 20.9, 21.1, 21.3 (2CH<sub>3</sub>); 25.3, 26.1 (1",3-NCH<sub>3</sub>); 30.4, 30.9 (1-NCH<sub>3</sub>); 52.2, 52.5 (1'-NCH); 57.5, 57.8, 58.6, 59.2, 61.5, 62.5, 62.8 (C-2',3',4',5'); 81.2, 81.8 (C-3a); 85.1, 88.0 (C-9a); 108.9 (C-7"); 122.3, 122.8, 123.6, 124.4, 125.3, 125.9, 126.9, 127.0, 127.4, 127.7, 127.8, 128.4, 128.5, 128.7, 128.8, 129.3, 129.9 (2Ph-2–6, C-3a",4",5",6"); 131.8, 132.0, 132.7, 133.1 (2Ph-1); 134.8, 137.3 (C-5a); 144.3, 144.8 (C-7a"); 157.9, 158.0 (2-C=O); 169.9, 171.1 (8-C=O); 176.2, 176.4 (2"-C=O).

**( $3\alpha R^*, 4'S^*, 7R^*, 9aS^*$ )-1'-Изопропил-1,1",3-т trimetil-3 $\alpha$ ,9 $\alpha$ -дифенил-1,3 $\alpha$ ,4,9 $\alpha$ -тетрагидро-8Н-диспиро[имидаzo[4,5-*e*]тиазоло[2,3-*c*][1,2,4]триазин-7,3'-пирролидин-4',3"-индолин]-2,2",8(3Н)-трион (3c).** Выход 205 мг (33%), белый порошок, т. пл. 187–190°C. ИК спектр,  $\nu$ , см $^{-1}$ : 3346 (NH), 3057, 3028 (Ar), 2971, 2932, 2876 (Alk), 1708, 1657 (C=O). Спектр ЯМР  $^1\text{H}$  (300 МГц),  $\delta$ , м. д. ( $J$ , Гц): 1.00 (6Н, д,  $J$  = 6.2, 2CH<sub>3</sub>); 2.51 (3Н, с, 3-NCH<sub>3</sub>); 2.86–2.92 (4Н, м, 1'-NCH, 1-NCH<sub>3</sub>); 3.14 (1Н, д,  $J$  = 10.0, 5'-CH<sub>2</sub>); 3.21 (3Н, с, 1"-NCH<sub>3</sub>); 3.40–3.45 (2Н, м, 2',5'-CH<sub>2</sub>); 3.88 (1Н, д,  $J$  = 10.6, 2'-CH<sub>2</sub>); 6.15–6.70 (4Н, м, Н Ph); 6.89 (1Н, д,  $J$  = 7.4, H-7"); 7.08–7.28 (8Н, м, Н Ph, H-4",5"); 7.50 (1Н, т,  $J$  = 7.7, H-6"); 7.81 (1Н, с, NH). Спектр ЯМР  $^{13}\text{C}$  (75 МГц),  $\delta$ , м. д.: 21.0, 21.3 (2CH<sub>3</sub>); 25.5, 26.2 (1",3-NCH<sub>3</sub>); 30.5 (1-NCH<sub>3</sub>); 52.2 (1'-NCH); 57.6, 59.2, 62.6 (C-2',3',4',5'); 81.8 (C-3a); 88.0 (C-9a); 109.0 (C-7"); 122.3, 123.6, 126.0, 127.1, 127.4, 127.9, 128.5, 128.7, 130.0 (2Ph-2–6, C-3a",4",5",6"); 131.8, 132.8 (2Ph-1); 137.3 (C-5a); 144.9 (C-7a"); 158.0 (2-C=O); 171.1 (8-C=O); 176.4 (2"-C=O). Найдено,  $m/z$ : 622.2595 [M+H] $^+$ .  $\text{C}_{34}\text{H}_{36}\text{N}_7\text{O}_3\text{S}$ . Вычислено,  $m/z$ : 622.2595.

**Смесь ( $3\alpha R^*, 4'R^*, 7S^*, 9aS^*$ )-1,1",3-т trimetil-3 $\alpha$ ,9 $\alpha$ -дифенил-1'-циклогексил-1,3 $\alpha$ ,4,9 $\alpha$ -тетрагидро-8Н-диспиро[имидаzo[4,5-*e*]тиазоло[2,3-*c*][1,2,4]триазин-7,3'-пирролидин-4',3"-индолин]-2,2",8(3Н)-триона (2d) и ( $3\alpha R^*, 4'S^*, 7R^*, 9aS^*$ )-1,1",3-т trimetil-3 $\alpha$ ,9 $\alpha$ -дифенил-1'-циклогексил-1,3 $\alpha$ ,4,9 $\alpha$ -тетрагидро-8Н-диспиро[имидаzo[4,5-*e*]тиазоло[2,3-*c*][1,2,4]триазин-7,3'-пирролидин-4',3"-индолин]-2,2",8(3Н)-триона (3d).** Выход 582 мг (88%), белый порошок. Спектр ЯМР  $^1\text{H}$  (300 МГц),  $\delta$ , м. д. ( $J$ , Гц): 1.10–1.21 (10Н, м, Cy); 1.42–1.50 (2Н, м, Cy); 1.60–1.79 (8Н, м, Cy); 2.39–2.55 (8Н, м, 3-NCH<sub>3</sub>, Cy); 2.91 (3Н, с, 1-NCH<sub>3</sub>); 2.94 (3Н, с, 1-NCH<sub>3</sub>); 3.14 (2Н, д,  $J$  = 9.9, 5'-CH<sub>2</sub>); 3.19 (3Н, с, 1"-NCH<sub>3</sub>); 3.21 (3Н, с, 1"-NCH<sub>3</sub>); 3.36–3.53 (4Н, м, 2',5'-CH<sub>2</sub>); 3.79 (1Н, д,  $J$  = 10.2, 2'-CH<sub>2</sub>); 3.86 (1Н, д,  $J$  = 10.4, 2'-CH<sub>2</sub>); 6.19–6.73 (8Н, м, Н Ph); 6.87–7.26 (18Н, м, Н Ph, H-4",5",7"); 7.40 (1Н, т,  $J$  = 7.7, H-6"); 7.47 (1Н, т,  $J$  = 7.7, H-6"); 7.82 (1Н, с, NH); 7.92 (1Н, с, NH). Спектр ЯМР  $^{13}\text{C}$  (125 МГц),  $\delta$ , м. д.: 20.8, 23.9, 25.5, 25.6, 26.2, 30.5, 30.7, 30.9, 31.0, 31.2, 31.3 (3CH<sub>3</sub>, Cy); 57.3, 57.5, 58.4, 58.9, 60.1, 60.5, 61.1, 62.2, 62.6, 62.8 (C-2',3',4',5', Cy); 81.3, 81.9 (C-3a); 85.1, 88.1 (C-9a); 109.1 (C-7"); 122.4, 122.9, 123.8, 124.5, 125.3, 126.0, 127.1, 127.5, 128.0, 128.5, 128.6, 128.8, 128.9, 129.5, 130.1 (2Ph-2–6, C-3a",4",5",6"); 131.8, 132.0, 132.7,

133.1 (2Ph-1); 135.0, 137.5 (C-5a); 144.3, 144.9 (C-7a"); 158.1, 158.2 (2-C=O); 169.9, 170.9 (8-C=O); 176.4, 176.6 (2"-C=O).

**(3aR\*,4'S\*,7R\*,9aS\*)-1,1",3-Триметил-3а,9а-дифенил-1'-циклогексил-1,3а,4,9а-тетрагидро-8Н-диспиро-[имидаzo[4,5-e]тиазоло[2,3-c][1,2,4]триазин-7,3'-пиrrолидин-4',3"-индолин]-2,2",8(3H)-трион (3d).** Выход 311 мг (47%), белый порошок, т. пл. 211–213°C. ИК спектр,  $\nu$ , см<sup>-1</sup>: 3338 (NH), 3051 (Ar), 2931, 2850, 2792 (Alk), 1733, 1711, 1652 (C=O). Спектр ЯМР <sup>1</sup>H (300 МГц),  $\delta$ , м. д. ( $J$ , Гц): 1.12–1.24 (5H, м, Cy); 1.42–1.51 (1H, м, Cy); 1.60–1.79 (4H, м, Cy); 2.49–2.56 (4H, м, 3-NCH<sub>3</sub>, Cy); 2.91 (3H, с, 1-NCH<sub>3</sub>); 3.14 (1H, д,  $J$  = 9.9, 5'-CH<sub>2</sub>); 3.21 (3H, с, 1"-NCH<sub>3</sub>); 3.40–3.45 (2H, м, 2',5'-CH<sub>2</sub>); 3.86 (1H, д,  $J$  = 10.5, 2'-CH<sub>2</sub>); 6.20–6.70 (3H, м, H Ph); 6.72–7.40 (10H, м, H Ph, H-4",5",7"); 7.50 (1H, т,  $J$  = 7.7, H-6"); 7.83 (1H, с, NH). Спектр ЯМР <sup>13</sup>C (125 МГц),  $\delta$ , м. д.: 22.6, 22.7, 24.4, 24.5, 25.0, 29.3, 29.6, 30.1 (3CH<sub>3</sub>, Cy); 56.1, 57.7, 58.9, 61.0, 61.4 (C-2',3',4',5', Cy); 80.6 (C-3a); 86.8 (C-9a); 107.9 (C-7"); 121.2, 122.7, 124.8, 125.9, 126.3, 126.7, 127.3, 127.6, 128.8 (2Ph-2–6, C-3a",4",5",6"); 130.7, 131.6 (2Ph-1); 136.2 (C-5a); 143.7 (C-7a"); 156.8 (2-C=O); 169.7 (8-C=O); 175.4 (2"-C=O). Найдено,  $m/z$ : 608.2447 [M+H]<sup>+</sup>. C<sub>33</sub>H<sub>34</sub>N<sub>7</sub>O<sub>3</sub>S. Вычислено,  $m/z$ : 608.2438.

**Смесь (3aR\*,4'R\*,7S\*,9aS\*)-1,1",3-триметил-3а,9а-дифенил-1"-этил-1,3а,4,9а-тетрагидро-8Н-диспиро-[имидаzo[4,5-e]тиазоло[2,3-c][1,2,4]триазин-7,3'-пиrrолидин-4',3"-индолин]-2,2",8(3H)-триона (2e) и (3aR\*,4'S\*,7R\*,9aS\*)-1,1",3-триметил-3а,9а-дифенил-1"-этил-1,3а,4,9а-тетрагидро-8Н-диспиро[имидаzo[4,5-e]тиазоло[2,3-c][1,2,4]триазин-7,3'-пиrrолидин-4',3"-индолин]-2,2",8(3H)-триона (3e).** Выход 504 мг (83%), белый порошок. Спектр ЯМР <sup>1</sup>H (300 МГц),  $\delta$ , м. д. ( $J$ , Гц): 1.18–1.24 (6H, м, CH<sub>3</sub>); 2.37 (3H, с, NCH<sub>3</sub>); 2.38 (3H, с, NCH<sub>3</sub>); 2.44 (3H, с, 1'-NCH<sub>3</sub>); 2.51 (3H, с, 3-NCH<sub>3</sub>); 2.92 (3H, с, 1-NCH<sub>3</sub>); 2.96 (3H, с, 1-NCH<sub>3</sub>); 3.00–3.07 (2H, м, 5'-CH<sub>2</sub>); 3.34–3.43 (4H, м, 2',5'-CH<sub>2</sub>); 3.66–3.89 (6H, м, 1"-NCH<sub>2</sub>, 2'-CH<sub>2</sub>); 6.15–6.79 (8H, м, H Ph); 6.87–7.27 (18H, м, H Ph, H-4",5",7"); 7.39 (1H, т,  $J$  = 7.5, H-6"); 7.48 (1H, т,  $J$  = 7.6, H-6"); 7.81 (1H, с, NH); 7.92 (1H, с, NH). Спектр ЯМР <sup>13</sup>C (75 МГц),  $\delta$ , м. д.: 12.6, 12.7 (CH<sub>3</sub>); 25.7 (3-NCH<sub>3</sub>); 30.8, 31.3 (1-NCH<sub>3</sub>); 34.6 (1"-NCH<sub>2</sub>); 42.0, 42.3 (1'-NCH<sub>3</sub>); 59.6, 60.0, 61.9, 63.7, 65.8, 66.9 (C-2',3',4',5'); 81.5, 82.1 (C-3a); 85.4, 88.5 (C-9a); 109.3, 109.3 (C-7"); 122.6, 123.0, 123.7, 124.3, 125.6, 126.3, 127.1, 127.3, 127.7, 128.1, 128.7, 128.8, 129.0, 129.1, 129.9, 130.4 (2Ph-2–6, C-3a",4",5",6"); 131.9, 132.1, 132.8, 133.2 (2Ph-1); 135.1, 137.7 (C-5a); 143.6, 144.0 (C-7a"); 158.3, 158.4 (2-C=O); 170.6, 171.6 (8-C=O); 176.4, 176.6 (2"-C=O).

**(3aR\*,4'R\*,7S\*,9aS\*)-1,1",3-Триметил-3а,9а-дифенил-1"-этил-1,3а,4,9а-тетрагидро-8Н-диспиро[имидаzo[4,5-e]тиазоло[2,3-c][1,2,4]триазин-7,3'-пиrrолидин-4',3"-индолин]-2,2",8(3H)-трион (2e).** Выход 49 мг (8%), белый порошок, т. пл. 223–225°C. ИК спектр,  $\nu$ , см<sup>-1</sup>: 3267 (NH), 3066, 3033 (Ar), 2968, 2945, 2914 (Alk), 1703, 1657 (C=O). Спектр ЯМР <sup>1</sup>H (300 МГц),  $\delta$ , м. д. ( $J$ , Гц): 1.21 (3H, т,  $J$  = 7.1, CH<sub>3</sub>); 2.37 (3H, с, NCH<sub>3</sub>); 2.38 (3H, с, NCH<sub>3</sub>); 2.96 (3H, с, 1-NCH<sub>3</sub>); 3.02 (1H, д,  $J$  = 10.1,

5'-CH<sub>2</sub>); 3.37–3.42 (2H, м, 2',5'-CH<sub>2</sub>); 3.69–3.82 (3H, м, 1"-NCH<sub>2</sub>, 2'-CH<sub>2</sub>); 6.30–6.79 (4H, м, H Ph); 7.05–7.25 (9H, м, H Ph, H-4",5",7"); 7.39 (1H, т,  $J$  = 7.5, H-6"); 7.92 (1H, с, NH). Спектр ЯМР <sup>13</sup>C (75 МГц),  $\delta$ , м. д.: 12.5 (CH<sub>3</sub>); 25.5 (3-NCH<sub>3</sub>); 31.0 (1-NCH<sub>3</sub>); 34.3 (1"-NCH<sub>2</sub>); 41.8 (1'-NCH<sub>3</sub>); 59.3, 61.7, 63.4, 65.6 (C-2',3',4',5'); 81.2 (C-3a); 85.1 (C-9a); 109.0 (C-7"); 122.7, 124.0, 125.3, 126.8, 127.7, 127.9, 128.4, 128.8, 129.5 (2Ph-2–6, C-3a",4",5",6"); 131.9, 133.1 (2Ph-1); 134.7 (C-5a); 143.3 (C-7a"); 158.0 (2-C=O); 170.3 (8-C=O); 176.1 (2"-C=O). Найдено,  $m/z$ : 608.2447 [M+H]<sup>+</sup>. C<sub>33</sub>H<sub>34</sub>N<sub>7</sub>O<sub>3</sub>S. Вычислено,  $m/z$ : 608.2438.

**Смесь (3aR\*,4'R\*,7S\*,9aS\*)-1,3-диметил-3а,9а-дифенил-1',1"-диэтил-1,3а,4,9а-тетрагидро-8Н-диспиро[имидаzo[4,5-e]тиазоло[2,3-c][1,2,4]триазин-7,3'-пиrrолидин-4',3"-индолин]-2,2",8(3H)-триона (2f) и (3aR\*,4'S\*,7R\*,9aS\*)-1,3-диметил-3а,9а-дифенил-1',1"-диэтил-1,3а,4,9а-тетрагидро-8Н-диспиро[имидаzo[4,5-e]тиазоло[2,3-c][1,2,4]триазин-7,3'-пиrrолидин-4',3"-индолин]-2,2",8(3H)-триона (3f).** Выход 522 мг (84%), белый порошок. Спектр ЯМР <sup>1</sup>H (300 МГц),  $\delta$ , м. д. ( $J$ , Гц): 0.94–1.01 (6H, м, CH<sub>3</sub>); 1.19–1.26 (6H, м, CH<sub>3</sub>); 2.40 (3H, с, 3-NCH<sub>3</sub>); 2.50 (3H, с, 3-NCH<sub>3</sub>); 2.62 (2H, к,  $J$  = 7.1, 1'-NCH<sub>2</sub>); 2.72 (2H, к,  $J$  = 7.1, 1'-NCH<sub>2</sub>); 2.92 (3H, с, 1-NCH<sub>3</sub>); 2.98 (3H, с, 1-NCH<sub>3</sub>); 3.07–3.13 (2H, м, 5'-CH<sub>2</sub>); 3.37–3.48 (4H, м, 2',5'-CH<sub>2</sub>); 3.67–3.91 (6H, м, 1"-NCH<sub>2</sub>, 2'-CH<sub>2</sub>); 6.15–6.72 (8H, м, H Ph); 6.88–7.28 (18H, м, H Ph, H-4",5",7"); 7.40 (1H, т,  $J$  = 7.6, H-6"); 7.50 (1H, т,  $J$  = 7.7, H-6"); 7.83 (1H, с, NH); 7.94 (1H, с, NH). Спектр ЯМР <sup>13</sup>C (75 МГц),  $\delta$ , м. д.: 12.4, 12.5, 13.9, 14.0 (2CH<sub>3</sub>); 25.5 (3-NCH<sub>3</sub>); 30.5, 31.0 (1-NCH<sub>3</sub>); 34.3 (1"-NCH<sub>2</sub>); 49.1, 49.2 (1'-NCH<sub>2</sub>); 58.7, 59.2, 59.7, 62.9, 63.0, 63.7, 65.0 (C-2',3',4',5'); 81.2, 81.8 (C-3a); 85.1, 88.1 (C-9a); 109.0 (C-7"); 122.2, 122.7, 123.6, 124.2, 125.3, 126.1, 127.1, 127.4, 127.9, 128.4, 128.5, 128.7, 128.8, 129.5, 130.1 (2Ph-2–6, C-3a",4",5",6"); 131.8, 132.0, 132.7, 133.1 (2Ph-1); 134.7, 137.3 (C-5a); 143.4, 143.8 (C-7a"); 157.9, 158.0 (2-C=O); 170.3, 171.4 (8-C=O); 176.1, 176.1 (2"-C=O).

**(3aR\*,4'R\*,7S\*,9aS\*)-1,3-Диметил-3а,9а-дифенил-1',1"-диэтил-1,3а,4,9а-тетрагидро-8Н-диспиро[имидаzo[4,5-e]тиазоло[2,3-c][1,2,4]триазин-7,3'-пиrrолидин-4',3"-индолин]-2,2",8(3H)-трион (2f).** Выход 124 мг (20%), белый порошок, т. пл. 214–216°C. ИК спектр,  $\nu$ , см<sup>-1</sup>: 3319 (NH), 3093, 3053 (Ar), 2962, 2927, 2897, 2865, 2848 (Alk), 1713, 1691, 1670 (C=O). Спектр ЯМР <sup>1</sup>H (300 МГц),  $\delta$ , м. д. ( $J$ , Гц): 0.95 (3H, т,  $J$  = 7.2, CH<sub>3</sub>); 1.21 (3H, т,  $J$  = 7.0, CH<sub>3</sub>); 2.39 (3H, с, 3-NCH<sub>3</sub>); 2.63 (2H, к,  $J$  = 7.2, 1'-NCH<sub>2</sub>); 2.98 (3H, с, 1-NCH<sub>3</sub>); 3.08 (1H, д,  $J$  = 10.2, 5'-CH<sub>2</sub>); 3.38–3.48 (2H, м, 2',5'-CH<sub>2</sub>); 3.67–3.85 (3H, м, 1",2'-CH<sub>2</sub>); 6.21–6.81 (4H, м, H Ph); 7.05–7.24 (9H, м, H Ph, H-4",5",7"); 7.40 (1H, т,  $J$  = 7.6, H-6"); 7.94 (1H, с, NH). Спектр ЯМР <sup>13</sup>C (75 МГц),  $\delta$ , м. д.: 12.5, 14.0 (2CH<sub>3</sub>); 15.6 (3-NCH<sub>3</sub>); 31.1 (1-NCH<sub>3</sub>); 34.3 (1"-NCH<sub>2</sub>); 49.1 (1'-NCH<sub>2</sub>); 58.7, 59.7, 63.0, 63.7 (C-2',3',4',5'); 81.2 (C-3a); 85.1 (C-9a); 109.0 (C-7"); 122.7, 124.2, 125.3, 126.9, 127.9, 128.4, 128.8, 129.5 (2Ph-2–6, C-3a",4",5",6"); 132.0, 133.1 (2Ph-1); 134.7 (5a-C=N); 143.4 (C-7a"); 158.0 (2-C=O); 170.3 (8-C=O); 176.1 (2"-C=O). Найдено,  $m/z$ : 622.2593 [M+H]<sup>+</sup>. C<sub>34</sub>H<sub>36</sub>N<sub>7</sub>O<sub>3</sub>S. Вычислено,  $m/z$ : 622.2595.

**Смесь ( $3\alpha R^*, 4'R^*, 7S^*, 9aS^*$ )-1'-изопропил-1,3-диметил-3 $\alpha$ ,9 $\alpha$ -дифенил-1"-этил-1,3 $\alpha$ ,4,9 $\alpha$ -тетрагидро-8Н-диспиро-[имидаzo[4,5-*e*]тиазоло[2,3-*c*][1,2,4]триазин-7,3'-пиццолидин-4',3"-индолин]-2,2",8(3Н)-триона (2g) и ( $3\alpha R^*, 4'S^*, 7R^*, 9aS^*$ )-1'-изопропил-1,3-диметил-3 $\alpha$ ,9 $\alpha$ -дифенил-1"-этил-1,3 $\alpha$ ,4,9 $\alpha$ -тетрагидро-8Н-диспиро-[имидаzo[4,5-*e*]тиазоло[2,3-*c*][1,2,4]триазин-7,3'-пиццолидин-4',3"-индолин]-2,2",8(3Н)-триона (3g).** Выход 452 мг (71%), белый порошок. Спектр ЯМР  $^1\text{H}$  (300 МГц), δ, м. д. (J, Гц): 0.97–1.01 (12Н, м, 2CH<sub>3</sub>); 1.19–1.23 (6Н, м, CH<sub>3</sub>); 2.40 (3Н, с, 3-NCH<sub>3</sub>); 2.51 (3Н, с, 3-NCH<sub>3</sub>); 2.76–2.96 (8Н, м, 1'-NCH, 1-NCH<sub>3</sub>); 3.12 (2Н, д, J = 10.1, 5'-CH<sub>2</sub>); 3.38–3.53 (4Н, м, 2',5'-CH<sub>2</sub>); 3.67–3.90 (6Н, м, 1"-NCH<sub>2</sub>, 2'-CH<sub>2</sub>); 6.10–6.70 (8Н, м, H Ph); 6.89–7.28 (18Н, м, H Ph, H-4",5",7"); 7.40 (1Н, т, J = 7.7, H-6"); 7.49 (1Н, т, J = 7.7, H-6"); 7.83 (1Н, с, NH); 7.94 (1Н, с, NH). Спектр ЯМР  $^{13}\text{C}$  (75 МГц), δ, м. д.: 12.4 (CH<sub>3</sub>); 23.8, 25.5, 25.6 (3-NCH<sub>3</sub>, Cy); 30.8, 30.9, 31.1 (1-NCH<sub>3</sub>, Cy); 34.3 (1"-NCH<sub>2</sub>); 57.4, 57.9, 60.3, 61.1, 62.9 (C-2',3',4',5', Cy); 81.2 (C-3a); 85.2 (C-9a); 108.9 (C-7"); 122.6, 124.5, 125.5, 126.9, 127.7, 127.8, 128.3, 128.7, 129.4 (2Ph-2–6, C-3a",4",5",6"); 132.0, 133.1 (2Ph-1); 135.0 (C-5a); 143.4 (C-7a"); 158.0 (2-C=O); 169.7 (8-C=O); 176.0 (2"-C=O). Найдено, m/z: 676.3059 [M+H]<sup>+</sup>. C<sub>38</sub>H<sub>42</sub>N<sub>7</sub>O<sub>3</sub>S. Вычислено, m/z: 676.3064.

**( $3\alpha R^*, 4'S^*, 7R^*, 9aS^*$ )-1,3-Диметил-3 $\alpha$ ,9 $\alpha$ -дифенил-1"-циклогексил-1"-этил-1,3 $\alpha$ ,4,9 $\alpha$ -тетрагидро-8Н-диспиро[имидаzo[4,5-*e*]тиазоло[2,3-*c*][1,2,4]триазин-7,3'-пиццолидин-4',3"-индолин]-2,2",8(3Н)-трион (3h).** Выход 378 мг (56%), белый порошок, т. пл. 248–250°C. ИК спектр, ν, см<sup>-1</sup>: 3434, 3310 (NH), 3065, 3036 (Ar), 2973, 2931, 2853 (Alk), 1722, 1687, 1653 (C=O). Спектр ЯМР  $^1\text{H}$  (300 МГц), δ, м. д. (J, Гц): 1.18–1.25 (8Н, м, CH<sub>3</sub>, Cy); 1.42–1.50 (1Н, м, Cy); 1.59–1.79 (4Н, м, Cy); 2.49–2.58 (4Н, м, 3-NCH<sub>3</sub>, Cy); 2.89 (3Н, с, 1-NCH<sub>3</sub>); 3.11 (1Н, д, J = 9.9, 5'-CH<sub>2</sub>); 3.39–3.44 (2Н, м, 2',5'-CH<sub>2</sub>); 3.66–3.73 (1Н, м, 1"-NCH<sub>2</sub>); 3.81–3.88 (2Н, м, 1"-NCH<sub>2</sub>, 2'-CH<sub>2</sub>); 6.09–6.70 (4Н, м, H Ph); 6.88–7.33 (9Н, м, H Ph, H-4",5",7"); 7.48 (1Н, т, J = 7.7, H-6"); 7.83 (1Н, с, NH). Спектр ЯМР  $^{13}\text{C}$  (125 МГц), δ, м. д.: 12.5 (CH<sub>3</sub>); 23.9, 25.5, 25.7, 28.6 (3-NCH<sub>3</sub>, Cy); 30.4, 30.8, 31.3 (1-NCH<sub>3</sub>, Cy); 34.3 (1"-NCH<sub>2</sub>); 57.2, 58.5, 60.1, 62.1, 62.8 (C-2',3',4',5', Cy); 81.8 (C-3a); 88.0 (C-9a); 109.1 (C-7"); 122.2, 124.0, 126.2, 127.1, 127.5, 127.9, 128.0, 128.6, 128.8, 128.9 (2Ph-2–6, C-3a",4",5",6"); 130.0, 132.8 (2Ph-1); 137.4 (C-5a); 143.9 (C-7a"); 158.0 (2-C=O); 170.9 (8-C=O); 176.2 (2"-C=O). Найдено, m/z: 676.3070 [M+H]<sup>+</sup>. C<sub>38</sub>H<sub>42</sub>N<sub>7</sub>O<sub>3</sub>S. Вычислено, m/z: 676.3064.

**Смесь ( $3\alpha R^*, 4'R^*, 7S^*, 9aS^*$ )-1"-аллил-1,1',3- trimetil-3 $\alpha$ ,9 $\alpha$ -дифенил-1,3 $\alpha$ ,4,9 $\alpha$ -тетрагидро-8Н-диспиро[имидаzo[4,5-*e*]тиазоло[2,3-*c*][1,2,4]триазин-7,3'-пиццолидин-4',3"-индолин]-2,2",8(3Н)-триона (2i) и ( $3\alpha R^*, 4'S^*, 7R^*, 9aS^*$ )-1"-аллил-1,1',3- trimetil-3 $\alpha$ ,9 $\alpha$ -дифенил-1,3 $\alpha$ ,4,9 $\alpha$ -тетрагидро-8Н-диспиро[имидаzo[4,5-*e*]тиазоло[2,3-*c*][1,2,4]триазин-7,3'-пиццолидин-4',3"-индолин]-2,2",8(3Н)-триона (3i).** Выход 508 мг (82%), белый порошок. Спектр ЯМР  $^1\text{H}$  (300 МГц), δ, м. д. (J, Гц): 2.39 (6Н, с, 1',3-NCH<sub>3</sub>); 2.47 (3Н, с, 1'-NCH<sub>3</sub>); 2.52 (3Н, с, 3-NCH<sub>3</sub>); 2.93 (3Н, с, 1-NCH<sub>3</sub>); 2.98 (3Н, с, 1-NCH<sub>3</sub>); 3.05–3.12 (2Н, м, 5'-CH<sub>2</sub>); 3.35–3.46 (4Н, м, 2',5'-CH<sub>2</sub>); 3.79 (1Н, д, J = 10.5, 2'-CH<sub>2</sub>); 3.88 (1Н, д, J = 10.8, 2'-CH<sub>2</sub>); 4.30 (2Н, д, d, J = 17.5, J = 4.9, 1"-NCH<sub>2</sub>); 4.48 (2Н, д, d, J = 17.0, J = 4.8, 1"-NCH<sub>2</sub>); 5.23–5.44 (4Н, м, CH=CH<sub>2</sub>); 5.84–5.96 (2Н, м, CH=CH<sub>2</sub>); 6.11–6.71 (8Н, м, H Ph); 6.89–7.26 (18Н, м, H Ph, H-4",5",7"); 7.38 (1Н, т, J = 7.8, H-6"); 7.48 (1Н, т, J = 7.6, H-6"); 7.84 (1Н, с, NH); 7.94 (1Н, с, NH). Спектр ЯМР  $^{13}\text{C}$  (150 МГц), δ, м. д.: 24.4 (3-NCH<sub>3</sub>); 29.4, 29.9 (1-NCH<sub>3</sub>); 40.5, 40.6, 40.7, 40.9 (1'-NCH<sub>3</sub>, 1"-NCH<sub>2</sub>); 59.0, 60.8, 62.1, 64.5, 65.7 (C-2',3',4',5'); 80.7 (C-3a); 87.1 (C-9a); 108.4, 108.5 (C-7"); 116.0, 116.2 (CH=CH<sub>2</sub>); 121.3, 121.8, 122.2, 122.7, 124.1,

**( $3\alpha R^*, 4'R^*, 7S^*, 9aS^*$ )-1,3-Диметил-3 $\alpha$ ,9 $\alpha$ -дифенил-1"-циклогексил-1"-этил-1,3 $\alpha$ ,4,9 $\alpha$ -тетрагидро-8Н-диспиро[имидаzo[4,5-*e*]тиазоло[2,3-*c*][1,2,4]триазин-7,3'-пиццолидин-4',3"-индолин]-2,2",8(3Н)-триона (2h).** Выход 54 мг (8%), белый порошок, т. пл. 208–210°C. ИК спектр, ν, см<sup>-1</sup>: 3251 (NH), 3087, 3061 (Ar), 2979, 2930, 2855 (Alk), 1710, 1658 (C=O). Спектр ЯМР  $^1\text{H}$  (300 МГц), δ, м. д. (J, Гц): 1.14–1.24 (8Н, м, CH<sub>3</sub>, Cy); 1.42–1.50 (1Н, м, Cy); 1.59–1.69 (2Н, м, Cy); 1.70–1.79 (2Н, м, Cy); 2.40 (3Н, с, 3-NCH<sub>3</sub>); 2.41–2.55 (1Н, м, Cy);

124.8, 125.9, 126.3, 126.8, 127.3, 127.4, 127.6, 127.7, 128.3, 128.9 (2Ph-2–6, C-3a",4",5",6"); 130.4, 130.5, 130.6, 130.8, 131.6, 132.0 (2Ph-1, CH=CH<sub>2</sub>); 133.5, 136.1 (C-5a); 142.3, 142.8 (C-7a"); 156.8, 156.9 (2-C=O); 169.2, 170.3 (8-C=O); 175.1, 175.2 (2"-C=O).

**(3aR\*,4'S\*,7R\*,9aS\*)-1"-Аллил-1,1',3- trimетил-3а,9а-дифенил-1,3а,4,9а-тетрагидро-8Н-диспиро[имидаzo-[4,5-е]тиазоло[2,3-с][1,2,4]триазин-7,3'-пирролидин-4',3"-индолин]-2,2",8(3H)-трион (3i).** Выход 99 мг (16%), белый порошок, т. пл. 233–235°C. ИК спектр, ν, см<sup>-1</sup>: 3247 (NH), 3089, 3054, 3012 (Ar), 2939, 2917, 2844 (Alk), 1728, 1704, 1656 (C=O). Спектр ЯМР <sup>1</sup>H (300 МГц), δ, м. д. (J, Гц): 2.46 (3H, с, 1'-NCH<sub>3</sub>); 2.51 (3H, с, 3-NCH<sub>3</sub>); 2.93 (3H, с, 1-NCH<sub>3</sub>); 3.10 (1H, д, J = 10.6, 5'-CH<sub>2</sub>); 3.34–3.46 (2H, м, 2',5'-CH<sub>2</sub>); 3.88 (1H, д, J = 10.8, 2'-CH<sub>2</sub>); 4.29 (1H, д, д, J = 16.6, J = 5.1, 1"-NCH<sub>2</sub>); 4.48 (1H, д, д, J = 16.5, J = 4.4, 1"-NCH<sub>2</sub>); 5.23–5.33 (2H, м, CH=CH<sub>2</sub>); 5.87–5.96 (1H, м, CH=CH<sub>2</sub>); 6.10–6.71 (4H, м, H Ph); 6.89–7.28 (9H, м, H Ph, H-4",5",7"); 7.47 (1H, т, J = 7.7, H-6"); 7.83 (1H, с, NH). Спектр ЯМР <sup>13</sup>C (75 МГц), δ, м. д.: 25.5 (3-NCH<sub>3</sub>); 30.5 (1-NCH<sub>3</sub>); 41.6, 42.0 (1'-NCH<sub>3</sub>, 1"-NCH<sub>2</sub>); 60.1, 62.0, 63.3, 66.8 (C-2',3',4',5'); 81.8 (C-3a); 88.2 (C-9a); 109.6 (C-7"); 117.1 (CH=CH<sub>2</sub>); 122.4, 123.3, 126.0, 127.1, 127.4, 127.8, 128.5, 128.7, 129.9 (2Ph-2–6, C-3a",4",5",6"); 131.5, 131.8, 132.7 (2Ph-1, CH=CH<sub>2</sub>); 137.2 (C-5a); 143.9 (C-7a"); 157.9 (2-C=O); 171.4 (8-C=O); 176.3 (2"-C=O). Найдено, m/z: 620.2444 [M+H]<sup>+</sup>. C<sub>34</sub>H<sub>34</sub>N<sub>7</sub>O<sub>3</sub>S. Вычислено, m/z: 620.2438.

**Смесь (3aR\*,4'R\*,7S\*,9aS\*)-1"-аллил-1,3-диметил-3а,9а-дифенил-1'-этил-1,3а,4,9а-тетрагидро-8Н-диспиро[имидаzo[4,5-е]тиазоло[2,3-с][1,2,4]триазин-7,3'-пирролидин-4',3"-индолин]-2,2",8(3H)-триона (2j) и (3aR\*,4'S\*,7R\*,9aS\*)-1"-аллил-1,3-диметил-3а,9а-дифенил-1'-этил-1,3а,4,9а-тетрагидро-8Н-диспиро[имидаzo[4,5-е]тиазоло[2,3-с][1,2,4]триазин-7,3'-пирролидин-4',3"-индолин]-2,2",8(3H)-триона (3j).** Выход 526 мг (83%), белый порошок. Спектр ЯМР <sup>1</sup>H (300 МГц), δ, м. д. (J, Гц): 0.94–1.01 (6H, м, CH<sub>3</sub>); 2.40 (3H, с, 3-NCH<sub>3</sub>); 2.51 (3H, с, 3-NCH<sub>3</sub>); 2.65 (2H, к, J = 7.2, 1'-NCH<sub>2</sub>); 2.73 (2H, к, J = 7.2, 1'-NCH<sub>2</sub>); 2.93 (3H, с, 1-NCH<sub>3</sub>); 2.99 (3H, с, 1-NCH<sub>3</sub>); 3.11–3.19 (2H, м, 5'-CH<sub>2</sub>); 3.35–3.49 (4H, м, 2',5'-CH<sub>2</sub>); 3.81 (1H, д, J = 10.6, 2'-CH<sub>2</sub>); 3.90 (1H, д, J = 11.0, 2'-CH<sub>2</sub>); 4.28–4.52 (4H, м, 1"-NCH<sub>2</sub>); 5.52–5.34 (4H, м, CH=CH<sub>2</sub>); 5.85–5.96 (2H, м, CH=CH<sub>2</sub>); 6.19–6.23 (8H, м, H Ph); 6.89–7.29 (18H, м, H Ph, H-4",5",7"); 7.38 (1H, т, J = 7.6, H-6"); 7.47 (1H, т, J = 7.6, H-6"); 7.84, 7.94 (2H, с, NH). Спектр ЯМР <sup>13</sup>C (75 МГц), δ, м. д.: 13.9 (CH<sub>3</sub>); 25.4, 25.5 (3-NCH<sub>3</sub>); 30.5, 31.1 (1-NCH<sub>3</sub>); 41.6, 41.1 (1"-NCH<sub>2</sub>); 49.1 (1'-NCH<sub>2</sub>); 59.0, 59.5, 59.9, 60.0, 62.8, 63.7, 65.0 (C-2',3',4',5'); 81.2, 81.8 (C-3a); 85.1, 88.2 (C-9a); 109.5 (C-7"); 117.1, 117.3 (CH=CH<sub>2</sub>); 122.3, 122.9, 123.4, 123.9, 125.1, 126.0, 126.9, 127.1, 127.4, 127.8, 128.5, 128.7, 128.8, 129.3, 129.9 (2Ph-2–6, C-3a",4",5",6"); 131.5, 131.6, 131.8, 131.9, 132.7, 133.1 (2Ph-1, CH=CH<sub>2</sub>); 134.5, 137.2 (C-5a); 143.4, 143.9 (C-7a"); 157.9, 158.0 (2-C=O); 170.3, 171.4 (8-C=O); 176.1, 176.2 (2"-C=O).

**(3aR\*,4'S\*,7R\*,9aS\*)-1"-Аллил-1,3-диметил-3а,9а-дифенил-1'-этил-1,3а,4,9а-тетрагидро-8Н-диспиро[имидаzo[4,5-е]тиазоло[2,3-с][1,2,4]триазин-7,3'-пирролидин-4',3"-индолин]-2,2",8(3H)-трион (3k).** Выход 201 мг (31%), белый порошок, т. пл. 254–257°C. ИК спектр, ν, см<sup>-1</sup>: 3311, 3302 (NH), 3088, 3064, 3035 (Ar), 2962, 2930, 2874, 2835 (Alk), 1720, 1705, 1658 (C=O). Спектр ЯМР <sup>1</sup>H (300 МГц), δ, м. д. (J, Гц): 0.99 (6H, д, J = 6.1, 2CH<sub>3</sub>); 2.52 (3H, с, 3-NCH<sub>3</sub>); 2.83–2.91 (4H, м, 1-NCH<sub>3</sub>, 1'-NCH); 3.14 (1H, д, J = 10.1, 5'-CH<sub>2</sub>);

**лидин-4',3"-индолин]-2,2",8(3H)-трион (3j).** Выход 63 мг (10%), белый порошок, т. пл. 232–233°C. ИК спектр, ν, см<sup>-1</sup>: 3317 (NH), 3088, 3063, 3033 (Ar), 2963, 2933, 2916, 2884, 2823 (Alk), 1729, 1693, 1657 (C=O). Спектр ЯМР <sup>1</sup>H (300 МГц), δ, м. д. (J, Гц): 0.99 (3H, т, J = 7.2, CH<sub>3</sub>); 2.51 (3H, с, 3-NCH<sub>3</sub>); 2.73 (2H, к, J = 7.2, 1'-NCH<sub>2</sub>); 2.93 (3H, с, 1-NCH<sub>3</sub>); 3.15 (1H, д, J = 10.3, 5'-CH<sub>2</sub>); 3.40–3.45 (2H, м, 2',5'-CH<sub>2</sub>); 3.90 (1H, д, J = 11.0, 2'-CH<sub>2</sub>); 4.29 (1H, д, д, J = 16.7, J = 5.2, 1"-NCH<sub>2</sub>); 4.48 (1H, д, д, J = 16.4, J = 4.1, 1"-NCH<sub>2</sub>); 5.23–5.33 (2H, м, CH=CH<sub>2</sub>); 5.87–5.96 (1H, м, CH=CH<sub>2</sub>); 6.11–6.71 (4H, м, H Ph); 6.89–7.29 (9H, м, H Ph, H-4",5",7"); 7.47 (1H, т, J = 7.7, H-6"); 7.84 (1H, с, NH). Спектр ЯМР <sup>13</sup>C (75 МГц), δ, м. д.: 14.0 (CH<sub>3</sub>); 25.5 (3-NCH<sub>3</sub>); 30.5 (1-NCH<sub>3</sub>); 41.6 (1"-NCH<sub>2</sub>); 49.2 (1'-NCH<sub>2</sub>); 59.6, 60.0, 62.8, 65.0 (C-2',3',4',5'); 81.2 (C-3a); 88.2 (C-9a); 109.6 (C-7"); 117.1 (CH=CH<sub>2</sub>); 122.3, 123.4, 126.0, 127.1, 127.4, 127.8, 128.5, 128.7, 129.9 (2Ph-2–6, C-3a",4",5",6"); 131.5, 131.8, 132.7 (2Ph-1, CH=CH<sub>2</sub>); 137.2 (C-5a); 143.9 (C-7a"); 157.9 (2-C=O); 171.4 (8-C=O); 176.3 (2"-C=O). Найдено, m/z: 634.2604 [M+H]<sup>+</sup>. C<sub>35</sub>H<sub>36</sub>N<sub>7</sub>O<sub>3</sub>S. Вычислено, m/z: 634.2595.

**Смесь (3aR\*,4'R\*,7S\*,9aS\*)-1"-аллил-1'-изопропил-1,3-диметил-3а,9а-дифенил-1,3а,4,9а-тетрагидро-8Н-диспиро[имидаzo[4,5-е]тиазоло[2,3-с][1,2,4]триазин-7,3'-пирролидин-4',3"-индолин]-2,2",8(3H)-триона (2k) и (3aR\*,4'S\*,7R\*,9aS\*)-1"-аллил-1'-изопропил-1,3-диметил-3а,9а-дифенил-1,3а,4,9а-тетрагидро-8Н-диспиро[имидаzo[4,5-е]тиазоло[2,3-с][1,2,4]триазин-7,3'-пирролидин-4',3"-индолин]-2,2",8(3H)-триона (3k).** Выход 480 мг (74%), белый порошок. Спектр ЯМР <sup>1</sup>H (300 МГц), δ, м. д. (J, Гц): 0.97–1.02 (12H, м, 2CH<sub>3</sub>); 2.41 (3H, с, 3-NCH<sub>3</sub>); 2.52 (3H, с, 3-NCH<sub>3</sub>); 2.78–2.98 (8H, м, 1-NCH<sub>3</sub>, 1'-NCH); 3.16 (2H, д, J = 10.0, 5'-CH<sub>2</sub>); 3.42–3.54 (4H, м, 2',5'-CH<sub>2</sub>); 3.83 (1H, д, J = 10.4, 2'-CH<sub>2</sub>); 3.90 (1H, д, J = 10.7, 2'-CH<sub>2</sub>); 4.27–4.51 (4H, м, 1"-NCH<sub>2</sub>); 5.22–5.94 (4H, м, CH=CH<sub>2</sub>); 5.85–5.94 (2H, м, CH=CH<sub>2</sub>); 6.15–6.70 (8H, м, H Ph); 6.91–7.29 (18H, м, H Ph, H-4",5",7"); 7.38 (1H, т, J = 7.6, H-6"); 7.45 (1H, т, J = 7.6, H-6"); 7.84 (1H, с, NH); 7.94 (с, 1H, NH). Спектр ЯМР <sup>13</sup>C (75 МГц), δ, м. д.: 20.9, 21.2, 21.3. (2CH<sub>3</sub>); 25.4, 25.5 (3-NCH<sub>3</sub>); 30.4, 31.0 (1-NCH<sub>3</sub>); 41.6, 41.7 (1"-NCH<sub>2</sub>); 52.2, 52.5 (1'-NCH); 57.8, 58.0, 58.5, 59.2, 61.5, 62.5, 62.8 (C-2',3',4',5'); 81.2, 81.8 (C-3a); 85.1, 88.1 (C-9a); 109.4 (C-7"); 117.1, 117.4 (CH=CH<sub>2</sub>); 122.3, 122.8, 123.6, 124.2, 125.4, 126.1, 126.9, 127.1, 127.4, 127.7, 127.8, 128.4, 128.5, 128.7, 128.8, 129.3, 129.9 (2Ph-2–6, C-3a",4",5",6"); 131.5, 131.6, 131.8, 132.0, 132.7, 133.1 (2Ph-1, CH=CH<sub>2</sub>); 134.7, 137.3 (C-5a); 143.4, 143.9 (C-7a"); 157.9, 158.0 (2-C=O); 170.0, 171.1 (8-C=O); 176.1, 176.2 (2"-C=O).

**(3aR\*,4'S\*,7R\*,9aS\*)-1"-Аллил-1'-изопропил-1,3-диметил-3а,9а-дифенил-1,3а,4,9а-тетрагидро-8Н-диспиро[имидаzo[4,5-е]тиазоло[2,3-с][1,2,4]триазин-7,3'-пирролидин-4',3"-индолин]-2,2",8(3H)-трион (3k).** Выход 201 мг (31%), белый порошок, т. пл. 254–257°C. ИК спектр, ν, см<sup>-1</sup>: 3311, 3302 (NH), 3088, 3064, 3035 (Ar), 2962, 2930, 2874, 2835 (Alk), 1720, 1705, 1658 (C=O). Спектр ЯМР <sup>1</sup>H (300 МГц), δ, м. д. (J, Гц): 0.99 (6H, д, J = 6.1, 2CH<sub>3</sub>); 2.52 (3H, с, 3-NCH<sub>3</sub>); 2.83–2.91 (4H, м, 1-NCH<sub>3</sub>, 1'-NCH); 3.14 (1H, д, J = 10.1, 5'-CH<sub>2</sub>);

3.40–3.46 (2H, м, 2',5'-CH<sub>2</sub>); 3.88 (1H, д, *J* = 10.7, 2'-CH<sub>2</sub>); 4.28 (1H, д, д, *J* = 16.6, *J* = 5.2, 1"-NCH<sub>2</sub>); 4.46 (1H, д, д, *J* = 16.6, *J* = 4.7, 1"-NCH<sub>2</sub>); 5.22–5.32 (2H, м, CH=CH<sub>2</sub>); 5.84–5.95 (1H, м, CH=CH<sub>2</sub>); 6.15–6.70 (4H, м, H Ph); 6.89–7.27 (9H, м, H Ph, H-4",5",7"); 7.46 (1H, т, *J* = 7.7, H-6"); 7.83 (1H, с, NH). Спектр ЯМР <sup>13</sup>C (75 МГц), δ, м. д.: 21.0, 21.3 (2CH<sub>3</sub>); 25.5 (3-NCH<sub>3</sub>); 30.5 (1-NCH<sub>3</sub>); 41.7 (1"-NCH<sub>2</sub>); 52.3 (1'-NCH); 57.8, 59.3, 62.6 (C-2',3',4',5'); 81.9 (C-3a); 88.2 (C-9a); 109.6 (C-7"); 117.3 (CH=CH<sub>2</sub>); 122.4, 123.6, 126.2, 127.2, 127.5, 127.9, 128.1, 128.6, 128.8 (2Ph-2–6, C-3a",4",5",6"); 131.6, 131.9, 132.8 (2Ph-1, CH=CH<sub>2</sub>); 137.4 (C-5a); 143.9 (C-7a"); 158.0 (2-C=O); 171.2 (8-C=O); 176.3 (2"-C=O). Найдено, *m/z*: 648.2765 [M+H]<sup>+</sup>. C<sub>36</sub>H<sub>38</sub>N<sub>7</sub>O<sub>3</sub>S. Вычислено, *m/z*: 648.2751.

**(3aR\*,4'S\*,7R\*,9aS\*)-1"-Аллил-1,3-диметил-3а,9а-дифенил-1'-циклогексил-1,3а,4,9а-тетрагидро-8Н-диспиро[имиазо[4,5-*e*]тиазоло[2,3-*c*][1,2,4]триазин-7,3'-пирролидин-4',3"-индолин]-2,2",8(3Н)-трион (2l).** Выход 234 мг (34%), белый порошок, т. пл. 220–222°C. ИК спектр, ν, см<sup>-1</sup>: 3274 (NH), 3070, 3033 (Ar), 2932, 2854, 2823 (Alk), 1722, 1694, 1650 (C=O). Спектр ЯМР <sup>1</sup>H (300 МГц), δ, м. д. (*J*, Гц): 1.11–1.21 (5H, м, Cy); 1.42–1.50 (1H, м, Cy); 1.60–1.78 (4H, м, Cy); 2.40 (3H, с, 3-NCH<sub>3</sub>); 2.42–2.50 (1H, м, Cy); 2.97 (3H, с, 1-NCH<sub>3</sub>); 3.15 (1H, д, *J* = 10.0, 5'-CH<sub>2</sub>); 3.42 (1H, д, *J* = 9.9, 5'-CH<sub>2</sub>); 3.52 (1H, д, *J* = 10.3, 2'-CH<sub>2</sub>); 3.82 (1H, д, *J* = 10.4, 2'-CH<sub>2</sub>); 4.30 (1H, д, д, *J* = 16.5, *J* = 5.0, 1"-NCH<sub>2</sub>); 4.42 (1H, д, д, *J* = 16.5, *J* = 4.5, 1"-NCH<sub>2</sub>); 5.21–5.30 (2H, м, CH=CH<sub>2</sub>); 5.84–5.93 (1H, м, CH=CH<sub>2</sub>); 6.25–6.80 (4H, м, H Ph); 7.02–7.28 (9H, м, H Ph, H-4",5",7"); 7.38 (1H, т, *J* = 7.7, H-6"); 7.94 (1H, с, NH). Спектр ЯМР <sup>13</sup>C (75 МГц), δ, м. д.: 23.8, 23.9, 25.5, 25.6, 30.9, 31.0, 31.2 (1,3-NCH<sub>3</sub>, Cy); 41.7 (1"-NCH<sub>2</sub>); 57.7, 58.2, 60.4, 61.1, 62.8 (C-2',3',4',5', Cy); 81.3 (C-3a); 85.2 (C-9a); 109.5 (C-7"); 117.4 (CH=CH<sub>2</sub>); 122.9, 124.3, 125.4, 126.9, 127.8, 127.9, 128.4, 128.8, 129.4 (2Ph-2–6, C-3a",4",5",6"); 131.7, 132.0, 133.2 (2Ph-1, CH=CH<sub>2</sub>); 134.9 (C-5a); 143.5 (C-7a"); 158.0 (2-C=O); 169.9 (8-C=O); 176.2 (2"-C=O). Найдено, *m/z*: 688.3066 [M+H]<sup>+</sup>. C<sub>39</sub>H<sub>42</sub>N<sub>7</sub>O<sub>3</sub>S. Вычислено, *m/z*: 688.3064.

**(3aR\*,4'S\*,7R\*,9aS\*)-1"-Аллил-1,3-диметил-3а,9а-дифенил-1'-циклогексил-1,3а,4,9а-тетрагидро-8Н-диспиро[имиазо[4,5-*e*]тиазоло[2,3-*c*][1,2,4]триазин-7,3'-пирролидин-4',3"-индолин]-2,2",8(3Н)-трион (3l).** Выход 378 мг (55%), белый порошок, т. пл. >300°C. ИК спектр, ν, см<sup>-1</sup>: 3316 (NH), 3088, 3065, 3035 (Ar), 2931, 2853, 2788 (Alk), 1729, 1692, 1655 (C=O). Спектр ЯМР <sup>1</sup>H (300 МГц), δ, м. д. (*J*, Гц): 1.13–1.25 (5H, м, Cy); 1.43–1.50 (1H, м, Cy); 1.61–1.78 (4H, м, Cy); 2.51–2.58 (4H, м, 3-NCH<sub>3</sub>, Cy); 2.91 (3H, с, 1-NCH<sub>3</sub>); 3.12 (1H, д, *J* = 10.0, 5'-CH<sub>2</sub>); 3.41–3.48 (2H, м, 2'-CH<sub>2</sub>); 3.87 (1H, д, *J* = 10.4, 2'-CH<sub>2</sub>); 4.28 (1H, д, д, *J* = 16.9, *J* = 4.6, 1"-NCH<sub>2</sub>); 4.42 (1H, д, д, *J* = 16.6, *J* = 4.9, 1"-NCH<sub>2</sub>); 5.23–5.96 (2H, м, CH=CH<sub>2</sub>); 5.86–5.96 (1H, м, CH=CH<sub>2</sub>); 6.15–6.72 (4H, м, H Ph); 6.90–7.34 (9H, м, H Ph, H-4",5",7"); 7.47 (1H, т, *J* = 7.7, H-6"); 7.84 (1H, с, NH). Спектр ЯМР <sup>13</sup>C (75 МГц), δ, м. д.: 23.8, 25.4, 25.6, 28.5, 30.3, 30.6, 31.2 (1,3-NCH<sub>3</sub>, Cy); 41.6 (1"-NCH<sub>2</sub>); 57.4, 58.8, 60.0, 62.1, 62.5 (C-2',3',4',5', Cy); 81.8 (C-3a); 88.0 (C-9a); 109.5 (C-7"); 117.1 (CH=CH<sub>2</sub>); 122.3, 123.7, 126.0, 127.0, 127.4,

127.8, 127.9, 128.5, 128.7, 129.9 (2Ph-2–6, C-3a",4",5",6"); 131.5, 131.6, 131.8, 132.7 (2Ph-1, CH=CH<sub>2</sub>); 137.3 (5a-C=N); 143.9 (C-7a"); 157.8 (2-C=O); 170.8 (8-C=O); 176.3 (2"-C=O). Найдено, *m/z*: 688.3063 [M+H]<sup>+</sup>. C<sub>39</sub>H<sub>42</sub>N<sub>7</sub>O<sub>3</sub>S. Вычислено, *m/z*: 688.3064.

**Рентгеноструктурное исследование соединений 2e и 3d.** Кристаллы соединений получены кристаллизацией из MeCN. Данные рентгеновской дифракции соединения 2e получены на дифрактометре Rigaku Synergy S при 100К, оборудованном детектором HyPix6000HE (графитовый монохроматор, беззатворная техника  $\omega$ -сканирования), с использованием CuKa-излучения. Данные интенсивности интегрированы и скорректированы по программе CrysAlisPro.<sup>11</sup> Данные рентгеновской дифракции соединения 3d получены на дифрактометре Bruker Quest D8 при 100К, оборудованном детектором Photon-III (графитовый монохроматор, беззатворная техника  $\varphi$ - и  $\omega$ -сканирования), с использованием MoKa-излучения. Данные интенсивности интегрированы по программе SAINT<sup>12</sup> и скорректированы на поглощение и затухание с помощью SADABS.<sup>13</sup> Структуры соединений 2e и 3d расшифрованы прямым методом с помощью SHELXT<sup>14</sup> и уточнены по F<sup>2</sup> с помощью SHELXL-2018.<sup>15</sup> Положения всех неводородных атомов уточнены с индивидуальными параметрами анизотропного смещения. Атомы водорода помещены в идеальные расчетные положения и уточнены по модели "наездник" с относительными изотропными параметрами смещения. Полный набор рентгеноструктурных данных депонирован в Кембриджском банке структурных данных (депоненты CCDC 2241023 (соединение 2e), CCDC 2241024 (соединение 3d)).

Файл сопроводительных материалов, содержащий спектры ЯМР <sup>1</sup>H, <sup>13</sup>C соединений 2 и 3 a–l, доступен на сайте журнала <http://hgs.osi.lv>.

**Рентгеноструктурное исследование и регистрация масс-спектров высокого разрешения выполнены в отделе структурных исследований Института органической химии им. Н. Д. Зелинского РАН, Москва.**

### Список литературы

1. Jossang, A.; Jossang, P.; Hadi, H. A.; Sevenet, T.; Bodo, B. *J. Org. Chem.* **1991**, *56*, 6527.
2. Stuppner, H.; Sturm, S.; Konwalinka, G. *Chromatographia* **1992**, *34*, 597.
3. Cui, C.-B.; Kakeya, H.; Osada, H. *Tetrahedron* **1996**, *52*, 12651.
4. (a) Yu, B.; Yu, D.-Q.; Liu, H.-M. *Eur. J. Med. Chem.* **2015**, *97*, 673. (b) Zhao, Y.; Bernard, D.; Wang, S. *BioDiscovery* **2013**, *8*, e8950.
5. (a) Molteni, G.; Silvani, A. *Eur. J. Org. Chem.* **2021**, 2021, 1653. (b) Zimnitskiy, N. S.; Barkov, A. Yu.; Kutyashev, I. B.; Korotaev, V. Yu.; Sosnovskikh, V. Ya. *Chem. Heterocycl. Compd.* **2021**, *57*, 743. (c) Izmost'ev, A. N.; Gazieva, G. A.; Kolotyrkina, N. G.; Daeva, E. D.; Kravchenko, A. N. *Chem. Heterocycl. Compd.* **2020**, *56*, 1569. (d) Izmost'ev, A. N.; Streletsov, A. A.; Karnoukhova, V. A.; Kolotyrkina, N. G.; Strelenko, Y. A.; Kravchenko, A. N.; Gazieva, G. A. *ChemistrySelect* **2022**, *7*, e202104128. (e) Klochkova, I. N.;

- Shchekina, M. P.; Anis'kov, A. A. *Chem. Heterocycl. Compd.* **2014**, *50*, 479. (f) Musabirov, I. Z.; Gataullin, R. R. *Russ. J. Org. Chem.* **2022**, *58*, 1369.
6. (a) Gugkaeva, Z. T.; Panova, M. V.; Smol'yakov, A. F.; Medvedev, M. G.; Tsaloev, A. T.; Godovikov, I. A.; Maleev, V. I.; Larionov, V. A. *Adv. Synth. Catal.* **2022**, *364*, 2395. (b) Filatov, A. S.; Knyazev, N. A.; Molchanov, A. P.; Panikorovsky, T. L.; Kostikov, R. R.; Larina, A. G.; Boitsov, V. M.; Stepakov, A. V. *J. Org. Chem.* **2017**, *82*, 959. (c) Knyazev, N. A.; Shmakov, S. V.; Pechkovskaya, S. A.; Filatov, A. S.; Stepakov, A. V.; Boitsov, V. M.; Filatova, N. A. *Int. J. Mol. Sci.* **2021**, *22*, 8264. (d) Kutyashev, I. B.; Ulitko, M. V.; Barkov, A. Yu.; Zimnitskiy, N. S.; Korotaev, V. Yu.; Sosnovskikh, V. Ya. *Chem. Heterocycl. Compd.* **2021**, *57*, 751.
7. (a) Izmest'ev, A. N.; Gazieva, G. A.; Karnoukhova, V. A.; Kravchenko, A. N. *Org. Biomol. Chem.* **2020**, *18*, 6905. (b) Izmest'ev, A. N.; Karnoukhova, V. A.; Larin, A. A.; Kravchenko, A. N.; Fershtat, L. L.; Gazieva, G. A. *Int. J. Mol. Sci.* **2022**, *23*, 13820.
8. (a) Izmest'ev, A. N.; Kravchenko, A. N.; Gazieva, G. A. *Chem. Heterocycl. Compd.* **2022**, *58*, 531. (b) Izmest'ev, A. N.; Anikina, L. V.; Zanin, I. E.; Kolotyrkina, N. G.; Izmalkova, E. S.; Kravchenko, A. N.; Gazieva, G. A. *New J. Chem.* **2022**, *46*, 11632. (c) Izmest'ev, A. N.; Gazieva, G. A.; Anikina, L. V.; Pukhov, S. A.; Karnoukhova, V. A.; Kolotyrkina, N. G.; Kravchenko, A. N. *New J. Chem.* **2021**, *45*, 12271.
9. (a) Shvets, A. A.; Kurbatov, S. V. *Russ. Chem. Bull.* **2010**, *59*, 1979. (b) Shvets, A. A.; Kurbatov, S. V. *Chem. Heterocycl. Compd.* **2012**, *48*, 799. (c) Gazieva, G. A.; Kolotyrkina, N. G.; Kravchenko, A. N.; Makhova, N. N. *Russ. Chem. Bull.* **2014**, *63*, 431.
10. Izmest'ev, A. N.; Kravchenko, A. N.; Gazieva, G. A. *Mendeleev Commun.* **2022**, *32*, 678.
11. *CrysAlisPro. Version 1.171.41*; Rigaku Oxford Diffraction, 2021.
12. *Bruker. APEX-III*; Bruker AXS, Inc.: Madison, 2019.
13. Krause, L.; Herbst-Irmer, R.; Sheldrick, G. M.; Stalke, D. *J. Appl. Crystallogr.* **2015**, *48*, 3.
14. Sheldrick, G. M. *Acta Crystallogr., Sect. A: Found. Adv.* **2015**, *A71*, 3.
15. Sheldrick, G. M. *Acta Crystallogr., Sect. C: Struct. Chem.* **2015**, *C71*, 3.